



# Adaptatividad temporal de métodos de descomposición para ecuaciones de evolución

XVII Congreso Dr. Antonio Monteiro

Lisandro A. Raviola<sup>1</sup> y Mariano F. De Leo<sup>2</sup>

<sup>1</sup> Facultad de Ciencias Exactas, Ingeniería y Agrimensura, Universidad Nacional de Rosario

<sup>2</sup> Instituto de Matemática de Bahía Blanca, Universidad Nacional del Sur

Bahía Blanca, 8 de junio de 2023



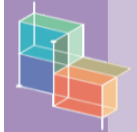
XVII Congreso  
Dr. Antonio Monteiro  
7, 8 y 9 de junio de 2023  
Bahía Blanca, Argentina



# Contenido

## 1 Introducción

- ▶ **Introducción**
- ▶ Métodos numéricos
- ▶ Adaptatividad temporal
- ▶ Resultados
- ▶ Conclusiones y perspectivas



# Planteo del problema

## 1 Introducción

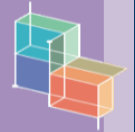
- **Objetivo:** resolver el problema de valores iniciales

$$\begin{cases} i\partial_t u(x, t) = Au(x, t) + B(u(x, t)), & x \in \mathbb{R}, t \geq 0, \\ u(x, 0) = u_0(x), \end{cases}$$

- Equivalentemente, determinar el *flujo*  $\phi(t)$  tal que  $u(x, t) = \phi(t)u_0(x)$  es solución
- $A$  es un operador lineal definido como *multiplicador de Fourier*

$$\widehat{Au}(k, t) = \mathcal{A}(k)\widehat{u}(k, t), \quad \widehat{u}(k, t) := \mathcal{F}\{u(x, t)\} = \frac{1}{\sqrt{2\pi}} \int_{\mathbb{R}} u(x, t) e^{-ikx} dx$$

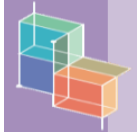
- $\mathcal{A}(k) \in \mathbb{C}$  es el *símbolo* del operador  $A$
- $B$  es un operador posiblemente no lineal
- Ecuaciones de evolución semilineales: reacción-difusión, Schrödinger lineal / no lineal, Gross-Pitaevskii, Ginzburg-Landau, . . .



# Contenido

## 2 Métodos numéricos

- ▶ Introducción
- ▶ **Métodos numéricos**
- ▶ Adaptatividad temporal
- ▶ Resultados
- ▶ Conclusiones y perspectivas



## Descomposición de operadores

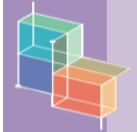
### 2 Métodos numéricos

- En los métodos de descomposición de operadores o *splitting* el problema original se divide en dos subproblemas de valores iniciales que se resuelven separadamente

$$i\partial_t u(x, t) = Au(x, t), \quad u(x, 0) = u_0(x) \quad / \quad u(x, t) = \phi_A(t)u_0(x)$$

$$i\partial_t u(x, t) = B(u(x, t)), \quad u(x, 0) = u_0(x) \quad / \quad u(x, t) = \phi_B(t)u_0(x)$$

- $\phi_A$  y  $\phi_B$  son los flujos parciales asociados a cada operador (propagadores)
- Los problemas parciales son más *simples* o *convenientes* de resolver
- Esta división permite aplicar métodos especializados a cada subproblema, obteniéndose los propagadores parciales en forma exacta o aproximada
- ¿Cómo aproximo el propagador  $\phi$  del problema original a partir de  $\phi_A$  y  $\phi_B$ ?
- Vamos a estudiar dos clases: métodos *multiplicativos* y métodos *aditivos*



# Métodos multiplicativos (simplécticos)

## 2 Métodos numéricos

- Aproximación de Lie-Trotter (primer orden)

$$\Phi_1(h) = \phi_B(h) \circ \phi_A(h), \quad \phi(h) = \Phi_1(h) + \mathcal{O}(h^2)$$

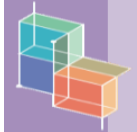
- Aproximación de Strang-Marchuk (segundo orden)

$$\Phi_2(h) = \phi_A\left(\frac{1}{2}h\right) \circ \phi_B(h) \circ \phi_A\left(\frac{1}{2}h\right), \quad \phi(h) = \Phi_2(h) + \mathcal{O}(h^3)$$

- Aproximaciones de orden superior

$$\Phi_n(h) = \phi_B(b_m h) \circ \phi_A(a_m h) \circ \cdots \circ \phi_B(b_1 h) \circ \phi_A(a_1 h), \quad \phi(h) = \Phi_n(h) + \mathcal{O}(h^{n+1})$$

$$a_1 + a_2 + \cdots + a_m = b_1 + b_2 + \cdots + b_m = 1$$



## Métodos multiplicativos (simplécticos)

### 2 Métodos numéricos

- Lie-Trotter (orden 1):

$$b_1 = 1, a_1 = 1$$

- Strang-Marchuk (orden 2):

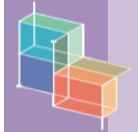
$$a_2 = \frac{1}{2}, b_1 = 1, a_1 = \frac{1}{2}$$

- Ruth (orden 3):

$$b_3 = \frac{7}{24}, a_3 = \frac{2}{3}, b_2 = \frac{3}{4}, a_2 = -\frac{2}{3}, b_1 = -\frac{1}{24}, a_1 = 1$$

- Neri-Yoshida (orden 4):

$$a_1 = a_4 = \frac{1}{2(2 - 2^{1/3})}, a_2 = a_3 = -\frac{2^{1/3} - 1}{2(2 - 2^{1/3})}, b_1 = b_3 = 2a_1, b_2 = -2^{1/3}b_1, b_4 = 0$$



# Métodos multiplicativos (simplécticos)

2 Métodos numéricos

- Para esquemas de orden mayor a 2, uno o más de los  $a_m, b_m$  son *negativos*  $\implies$  no son aptos para problemas irreversibles (la evolución hacia atrás está mal planteada)
- ¿Cómo conservamos la versatilidad de los métodos de descomposición en problemas irreversibles con integradores de orden superior a 2?



# Métodos aditivos (afines)

## 2 Métodos numéricos

*IMA Journal of Numerical Analysis* (2015) Page 1 of 25

doi:10.1093/imanum/drv058

### **High-order time-splitting methods for irreversible equations**

MARIANO DE LEO

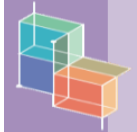
*Instituto de Ciencias, Universidad de General Sarmiento, Juan María Gutiérrez 1150, Los Polvorines,  
Pcia de Buenos Aires C1613EGA, Argentina*  
mdeleo@ungs.edu.ar

AND

DIEGO RIAL AND CONSTANZA SÁNCHEZ DE LA VEGA\*

*Departamento de Matemática, FCEyN, Universidad de Buenos Aires, Intendente Güiraldes 2160,  
Ciudad Universitaria, Pabellón I, Buenos Aires C1428EGA, Argentina and Instituto de Matemática  
Luis Santaló, IMAS-CONICET, Buenos Aires, Argentina*

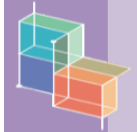
\*Corresponding author: drial@dm.uba.ar    csfvega@dm.uba.ar



## Métodos aditivos (afines)

### 2 Métodos numéricos

- En [De Leo et al. \(2016\)](#) se presentan métodos de descomposición de orden arbitrario basados en **combinaciones afines aditivas** de esquemas de Lie-Trotter que no contienen pasos negativos (los denominamos *métodos afines*)
- Ese trabajo prueba rigurosamente la convergencia de los métodos para un amplio rango de problemas semilineales que incluye tanto modelos hamiltonianos como ecuaciones de reacción-difusión y modelos disipativos
- En un trabajo reciente (<https://arxiv.org/abs/2305.18568>), mostramos a partir de una exploración numérica exhaustiva que **el desempeño de los métodos afines es en muchos casos equivalente o superior al de los métodos multiplicativos en la solución de ecuaciones tipo Schrödinger no lineal y Ginzburg-Landau**



## Métodos aditivos (afines): definición

### 2 Métodos numéricos

- En los métodos afines, se parte del par adjunto de propagadores de Lie-Trotter...

$$\Phi_1^+(h) = \phi_B(h) \circ \phi_A(h), \quad \Phi_1^-(h) = \phi_A(h) \circ \phi_B(h),$$

- Se construyen recursivamente las composiciones

$$\Phi_m^\pm(h) = \Phi_1^\pm(h) \circ \Phi_{m-1}^\pm(h), \quad m = 2, 3, \dots$$

- ... y se definen las combinaciones afines (simétricas)

$$\Phi_{SA}^\sigma(h) = \sum_{j=1}^{\sigma} \gamma_j \left( \Phi_j^+(h/j) + \Phi_j^-(h/j) \right),$$

que aproximan  $\phi$  a orden  $q = 2n$  si los  $\gamma_j$  satisfacen las *condiciones de orden*

$$\sum_{j=1}^{\sigma} \gamma_j = \frac{1}{2}, \quad \sum_{j=1}^{\sigma} \frac{\gamma_j}{j^{2k}} = 0, \quad 1 \leq k \leq n-1.$$



# Métodos aditivos (afines): ejemplos

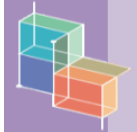
## 2 Métodos numéricos

### Métodos afines simétricos

$$\boxed{q = 2} \quad \phi(h) = + \frac{1}{2} \left( \phi_A \circ \phi_B(h) + \phi_B \circ \phi_A(h) \right) + \mathcal{O}(h^3)$$

$$\boxed{q = 4} \quad \phi(h) = - \frac{1}{6} \left( \phi_A \phi_B(h) + \phi_B \phi_A(h) \right) \\ + \frac{2}{3} \left( \phi_A \phi_B \phi_A \phi_B(h/2) + \phi_B \phi_A \phi_B \phi_A(h/2) \right) + \mathcal{O}(h^5)$$

$$\boxed{q = 6} \quad \phi(h) = + \frac{1}{48} \left( \phi_A \phi_B(h) + \phi_B \phi_A(h) \right) \\ - \frac{8}{15} \left( \phi_A \phi_B \phi_A \phi_B(h/2) + \phi_B \phi_A \phi_B \phi_A(h/2) \right) \\ + \frac{81}{80} \left( \phi_A \phi_B \phi_A \phi_B \phi_A \phi_B(h/3) + \phi_B \phi_A \phi_B \phi_A \phi_B \phi_A(h/3) \right) + \mathcal{O}(h^7)$$



# Métodos aditivos (afines): potencialidades

## 2 Métodos numéricos

- Su propia estructura algorítmica los hace potencialmente **paralelizables**
- Cada método de orden  $q$  lleva incorporados (*embebidos*) los métodos de orden par inferiores en sus primeras etapas (módulo constantes)
- Cada método puede considerarse como un par embebido y permite estimar el error local, permitiendo **adaptatividad temporal**



# Contenido

## 3 Adaptatividad temporal

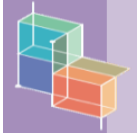
- ▶ Introducción
- ▶ Métodos numéricos
- ▶ **Adaptatividad temporal**
- ▶ Resultados
- ▶ Conclusiones y perspectivas



## Generalidades

### 3 Adaptatividad temporal

- Dependiendo de la solución, un tamaño de paso fijo  $\Delta t$  puede ser
  - **demasiado largo**: se pierde exactitud, incrementando el error global
  - **demasiado corto**: se pierde eficiencia, incrementando el costo computacional
- Las técnicas de adaptatividad temporal utilizan un **tamaño de paso variable** para lograr un balance razonable entre exactitud y costo computacional
- Se utilizan en integradores Runge-Kutta de “caja negra” incluidos en los entornos de computación científica (Matlab, Python, R, Julia) o en librerías de lenguajes de programación (RK45, DOPRI5, DOP853, etc.)



## Estimación del error local y control de tamaño de paso

### 3 Adaptatividad temporal

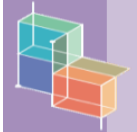
- Se basan en la **estimación del error local** mediante *pares embebidos de métodos* de distinto orden  $q > \hat{q}$

$$\hat{\mathbf{e}}_{n+1} \approx \mathbf{u}_{n+1} - \hat{\mathbf{u}}_{n+1} = \Phi_q(\mathbf{u}_n, \Delta t_n) - \Phi_{\hat{q}}(\mathbf{u}_n, \Delta t_n)$$

- El tamaño de paso “conveniente” se determina mediante un algoritmo  $\mathbf{P}$  para mantener el error local debajo de una tolerancia  $\tau$  (en alguna norma oportuna), p.e.

$$e_n = \sqrt{\frac{1}{N} \sum_{i=1}^N \hat{\mathbf{e}}_{n,i}^2} < \tau$$

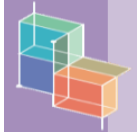
$$\Delta t_{n+1} = \mathbf{P}(\Delta t_n, \tau, e_{n+1}, \hat{q}, \Delta t_{n-1}, \dots, e_n, \dots)$$



## Pares embebidos

### 3 Adaptatividad temporal

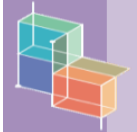
- Pares embebidos de esquemas multiplicativos han sido construidos recientemente, pero requieren una teoría sofisticada y la resolución del problema de optimización de encontrar los mejores coeficientes compatibles con las condiciones de orden (SE polinomial)
- Compararemos el desempeño de ambas clases de métodos, en particular considerando los presentados en los trabajos de [Auzinger et al. \(2019\)](#)



## Algoritmo de control de paso

### 3 Adaptatividad temporal

1. Establecer tamaño de paso inicial  $\Delta t_0$  (manual o automáticamente)
2. Realizar un paso de integración  $\Delta t_n$  con  $\Phi_q, \Phi_{\hat{q}}$  y estimar el error local  $e_{n+1}$
3. Calcular el tamaño de paso máximo  $\Delta t_{n+1}$  compatible con  $\tau$  usando  $e_{n+1}$
4. Si  $\Delta t_{n+1} < \Delta t_n$  *rechazar* el paso apenas realizado y repetir 2 y 3 asignando  $\Delta t_n \leftarrow \Delta t_{n+1}$ , de otro modo aceptar el paso e inicializar el paso siguiente con  $\Delta t_{n+1} \leftarrow \Delta t_n$
5. Repetir desde 2 hasta finalizar la integración ( $\sum_n \Delta t_n = T$ ).



## Algoritmo de control de paso

### 3 Adaptatividad temporal

- Los distintos esquemas adaptativos difieren en la implementación de  $\mathbf{P}$ , esto es, en cómo determinan el nuevo tamaño de paso
- Esquema básico con factores de seguridad

$$\Delta t_{n+1} = \mathbf{P}(\Delta t_n, \tau, e_{n+1}, \hat{q}) = \min \left( \alpha_{\max}, \max \left( \alpha_{\min}, \alpha \left( \frac{\tau}{e_{n+1}} \right)^{\frac{1}{\hat{q}+1}} \right) \right) \Delta t_n$$

- Esquema PI basado en teoría de control

$$\Delta t_{n+1} = \min \left( \alpha_{\max}, \max \left( \alpha_{\min}, \alpha \left( \frac{\tau}{e_{n+1}} \right)^{\frac{\beta_I}{\hat{q}+1}} \left( \frac{e_n}{e_{n+1}} \right)^{\frac{\beta_P}{\hat{q}+1}} \right) \right) \Delta t_n$$

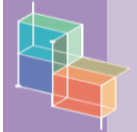
- etc.



# Contenido

4 Resultados

- ▶ Introducción
- ▶ Métodos numéricos
- ▶ Adaptatividad temporal
- ▶ **Resultados**
- ▶ Conclusiones y perspectivas



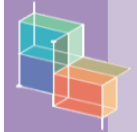
## Modelo

4 Resultados

- Ecuación de Schrödinger no lineal cúbica (NLSE3)

$$i\partial_t u = \frac{1}{2}(-\partial_x^2)u \pm |u|^2 u$$

- La NLSE3 describe la propagación de paquetes de ondas cuasi-monocromáticos en medios dispersivos y débilmente no lineales
- En el caso *enfocante* (-) admite soluciones localizadas y estables de tipo *solitón*



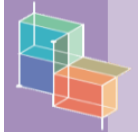
## Modelo

4 Resultados

- Ecuación de Schrödinger no lineal cúbica (NLSE3)

$$\mathcal{A}(k) = \frac{1}{2}|k|^2, \quad B(u) = \pm|u|^2u$$

- La NLSE3 describe la propagación de paquetes de ondas cuasi-monocromáticos en medios dispersivos y débilmente no lineales
- En el caso *enfocante* (-) admite soluciones localizadas y estables de tipo *solitón*



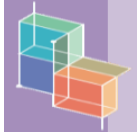
## Métricas

4 Resultados

- Resolvemos numéricamente la NLSE3 vía discretización pseudoespectral y descomposición de operadores con esquemas adaptativos
- Calculamos el error de la solución numérica  $u_{\text{num}}$  respecto a una solución de referencia  $u_{\text{ref}}$  exacta

$$\mathcal{E}_{\infty}(t) = \max_{x \in \mathbb{R}} |u_{\text{num}}(x, t) - u_{\text{ref}}(x, t)|$$

- Estimamos el *costo computacional* de cada método mediante el *número de evaluaciones* de los propagadores  $\phi_A$  y  $\phi_B$  hasta el tiempo final de simulación



## Ejemplo numérico: solución de referencia

4 Resultados

$$u_{\text{ref}}(x, t) = \frac{1}{\sqrt{-\gamma}} [\Psi_1(x, t) + \Psi_2(x, t)]$$

$$\Psi_1(x, t) = \frac{M_{12} (\gamma_1^{-1} + \gamma_2^*) - M_{22} (\gamma_2^{-1} + \gamma_2^*)}{M_{12}M_{21} (\gamma_1^* + \gamma_2^{-1}) (\gamma_1^{-1} + \gamma_2^*) - M_{11}M_{22} (\gamma_1^{-1} + \gamma_1^*) (\gamma_2^{-1} + \gamma_2^*)},$$

$$\Psi_2(x, t) = \frac{M_{21} (\gamma_1^* + \gamma_2^{-1}) - M_{11} (\gamma_1^{-1} + \gamma_1^*)}{M_{12}M_{21} (\gamma_1^* + \gamma_2^{-1}) (\gamma_1^{-1} + \gamma_2^*) - M_{11}M_{22} (\gamma_1^{-1} + \gamma_1^*) (\gamma_2^{-1} + \gamma_2^*)},$$

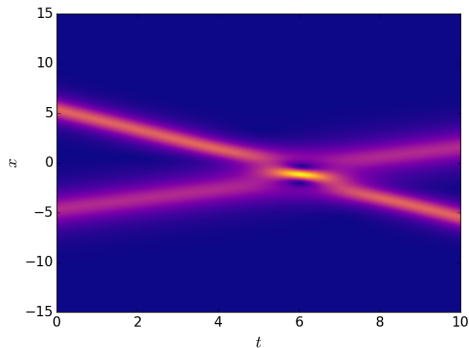
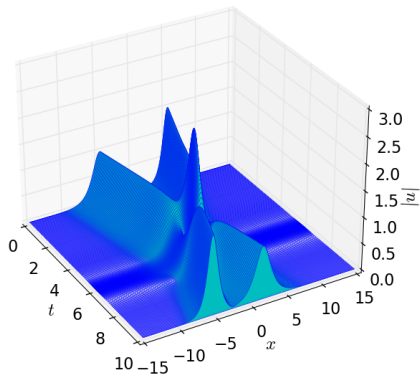
$$M_{jk} = 1/(\lambda_j + \lambda_k^*), \quad \lambda_j = \alpha_j + i\nu_j,$$

$$\gamma_j(x, t) = \exp(\lambda_j(x - x_{0j}) + i[\lambda_j^2(t - t_0)/2 + \phi_{0j}])$$



# Ejemplo numérico: solución de referencia

4 Resultados





# Ejemplo numérico: resultados

4 Resultados

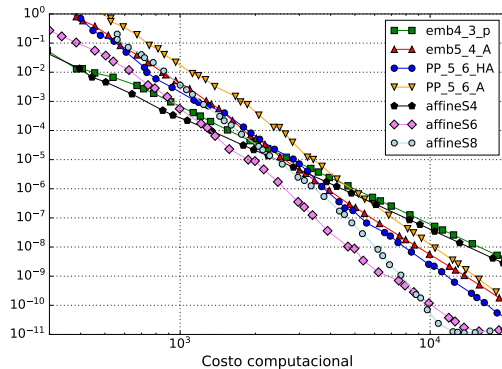
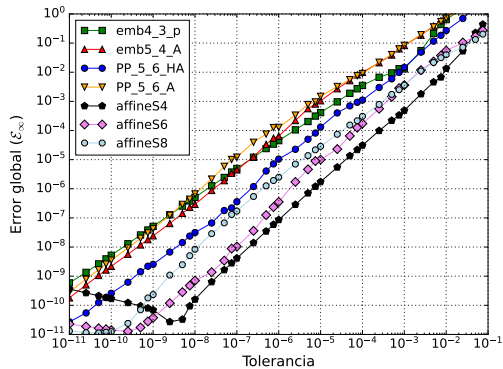
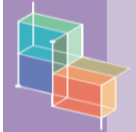


Figura: (Izquierda) Error  $\mathcal{E}_\infty(t = 10)$  vs.  $\tau$ . (Derecha) Error vs. costo computacional.



## Ejemplo numérico: resultados

4 Resultados

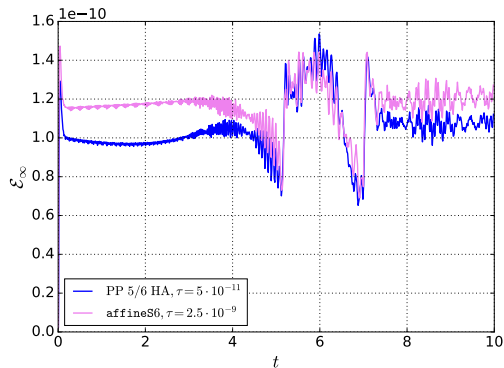
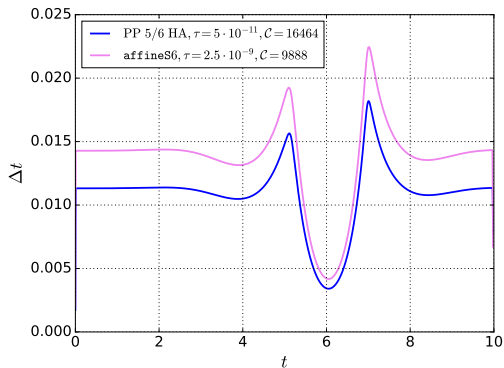
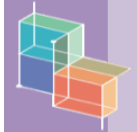


Figura: (Izquierda) Tamaño de paso  $\Delta t$  vs.  $t$ . (Derecha) Error global  $\mathcal{E}_\infty$  vs.  $t$ .



## Ecuación compleja de Ginzburg–Landau quíntica (CGLE5)

4 Resultados

$$i\partial_t u = \left(\frac{1}{2} - i\beta\right)(-\partial_x^2)u + i\delta u + (\gamma + i\varepsilon)|u|^2 u + (-\nu + i\mu)|u|^4 u.$$

- Es una generalización disipativa de la NLSE3
- Tiene aplicaciones en óptica no lineal
- Admite soluciones tipo *soliton disipativo*



## Ejemplo numérico no conservativo: CGLE5

4 Resultados

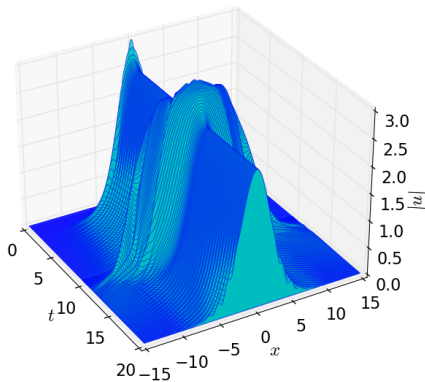


Figura: Soliton explosivo de la CGLE5.



## Ejemplo numérico no conservativo: CGLE5

4 Resultados

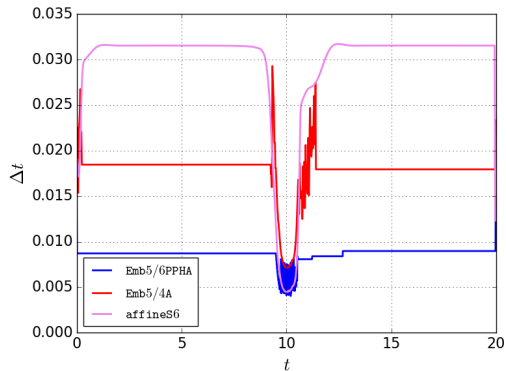
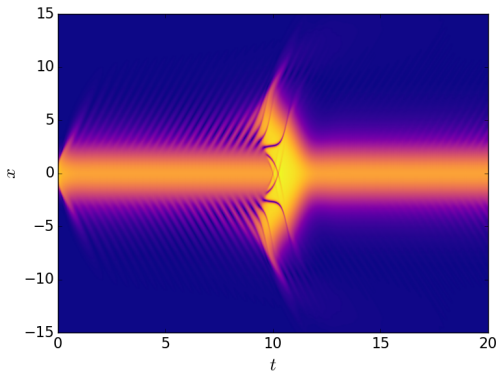
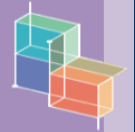


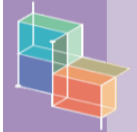
Figura: (Izquierda) Curvas de nivel de  $|u|$ . (Derecha) Tamaño de paso  $\Delta t$  vs.  $t$



# Contenido

## 5 Conclusiones y perspectivas

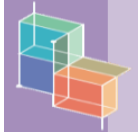
- ▶ Introducción
- ▶ Métodos numéricos
- ▶ Adaptatividad temporal
- ▶ Resultados
- ▶ Conclusiones y perspectivas



## Conclusiones

### 5 Conclusiones y perspectivas

- Los esquemas de descomposición afín de alto orden adaptativos (particularmente para  $q = 6$ ) son superiores a los multiplicativos en términos de exactitud y costo computacional
- Poseen la versatilidad de los métodos de descomposición sin los riesgos de inestabilidad de los esquemas multiplicativos de alto orden en problemas irreversibles
- A diferencia de los multiplicativos, no requieren una laboriosa construcción de pares especiales para estimar el error (los pares de distinto orden se encuentran naturalmente “embebidos”)
- Combinados con métodos pseudoespectrales de discretización, dan lugar a esquemas de solución robustos y eficientes para ecuaciones de evolución no lineales



## Perspectivas

### 5 Conclusiones y perspectivas

- Mejoras en los algoritmos para aumentar eficiencia
  - Implementación de estrategias más robustas de control de paso
  - Paralelización (se justifica en problemas muy grandes)
  - Adaptatividad espacial y espectral (ajustar la base a la solución dinámicamente)
- Generalización a problemas en 2D y 3D
- Combinación con otras discretizaciones (diferencias finitas, funciones de base radial)
- Consolidación en un paquete (librería) para Python amable al usuario
- Buenas prácticas de desarrollo, orientación a objetos
- Implementación más eficiente en Python mediante Cython/Numba o con lenguajes especializados para cálculo numérico (Julia, Fortran)



*¡Gracias por su atención!*  
*¿Preguntas?*

raviola@fceia.unr.edu.ar

